

# 汽輪發電機冷卻問題

第一集

轉子部分

中國科學技術情報研究所

1958年12月

## 前　　言

為全力支援國家電力事業的飛躍發展，配合本專業工程技術人員、研究人員的生產、研究工作，向他們提供必要的論文資料，研究綫索，特以分集分類形式，彙編成本專題綜述。它是以結合本專業題目所需要的國內外雜誌，論文，報告為主，並力求全面彙總，內容丰富。

限於編者水平，加之集收的資料尚欠完善，難免有不佳之處。

為此，敬請讀者提出要求，批評和指正。

編者1958.12

## 目 錄

工、汽輪發电机强行冷卻的必要性	
1. 氣氣冷卻	( 1 )
2. 內部直接冷卻	( 2 )
II、轉子繞組內部冷卻	
1. 氣體內冷效果	( 4 )
2. 氣體內冷結構	( 6 )
3. 液體內冷	( 10 )
III、勵磁損耗	( 12 )
VI、蘇聯汽輪發电机的冷卻原則及其製造的發展遠景	( 13 )
V、蘇聯汽輪發电机標準化一些問題	( 16 )
參考文獻	( 17 )

# I. 汽輪發電機強行冷卻的必要性

## 1. 氩氣冷卻

汽輪發電機是高速旋轉的電機，它具有相當大的空氣摩擦損失，其結構的嚴密與緊湊，使風路系統流體阻力增大。為保證足夠的空氣量，需要有很高壓頭，而它與空氣摩擦損失成正比，後者又與冷卻介質密度成正比。空氣冷卻汽輪發電機通風損失佔總損失的40%之多。

一般汽輪發電機的冷卻系統是以氣體循環為基礎，冷卻介質經過電機殼內部，帶走電機產生的熱量，現代汽輪發電機進一步採取了更有效的氣體-液體內部直接冷卻系統。

通風損失決定於冷卻介質的重量，越輕損失越小。假如以很輕的氣體代替0°C時，比重為1.3公斤/米<sup>3</sup>的空氣，則比空氣輕幾倍，損失就小幾倍。在所有的氣體中，最輕的氣體是氮氣。考慮到氮氣制取的可能性及其一系列的優點，認為以氮氣作為冷卻介質，減少汽輪發電機通風損失，從而提高發電機單位機組的極限容量是合理的。

表一、空氣、氮氣、二氧化碳性質

氣體性質	空氣	氮氣	二氧化碳
導熱性	1	0.69	0.638
密度	1	0.0696	1.52
由表面到氣體的導熱係數*	1	1.51	1.132
體積熱容量	1	0.996	1.29

\*這是在層流情況下，如果是在紊流即湍流的情況下，此值還要高些。

在0°C及760公厘水銀柱的重量（克/米<sup>3</sup>）：

空氣——1293；

氮氣——89.87；

二氧化碳——1977。

由以上知，氮氣比空氣輕14倍，因此通風損失可減少14倍，就對混合氣體的應用，通風損失照例減少8—10倍\*。如果空氣冷卻的大型汽輪發電機總損失為2.6%，則通風損失佔總損35—50%；作為氮冷時，發電機效率由於通風損失減少而提高0.7—1.0%，特別是對巨型汽輪發電機（150000瓩以上的）尤為顯著。

\*一般要求機殼中氮氣純度在94—96%的範圍內。在運行條件下，當入口氣溫溫度為35—40°C時，機殼中氣體混合物成份如下：

氮氣96%——78克/米<sup>3</sup>

空氣及濕氣4%——52克/米<sup>3</sup>

氣體混合物比重——132克/米<sup>3</sup>

这些气体密度比氮重得多，但比重比空气仍小8.4倍。

氩气不但重量小，導熱系數比空气大1.51倍，混合气体大1.35倍。其体積熱容量与空气比可以認為相同，因此用氩气冷却时，能保持原来通风系統結構尺寸。

氩气冷却的优點：

- 1) 提高电机的效率；
- 2) 当繞組溫升達到空气冷却水平时，电机容量提高将近25%。
- 3) 氩不助燃，因此防止了电机内部的燃燒及电量。
- 4) 在氩气中減少了定子繞組絕緣間隙的离游現象。
- 5) 大大減少通风摩擦损失。
- 6) 由空气冷却改成为氩气冷却时，尺寸不变容量可增大20%或者容量不变电机節約20—30%的有效材料。

在提出氩气冷却的当时，运行人員曾產生过一定的恐懼。因为它是在某种条件下可能發生爆炸的气体。但这是多餘的，至今多年的运行足已証明了這一點，只要使电机內部氩气压力經常保持300公厘水柱左右，即高於大气压力0.03—0.05表压就不会發生任何問題。在往电机內充氩时，首先注入二氧化碳，然後再用氩赶走二氧化碳，於是，充氩时，就免除了氩气与空气的直接接触或者先把机壳抽真空達0.2絕對大气压，这时氩和空气混合無爆炸可能。空气与氩气混合气体中氩气含量为5—76%时有爆炸危险。混合气体成份应使氩气96%；氧气1%；惰性气体3%。如果比例变化，则以吹氩法改变混合气体比例。

## 2. 內 部 直 接 冷 却

从前認為3000轉/分汽輪發电机的極限容量为50,000瓩，近30年来又認為100,000瓩，而到今天容量为150,000瓩的汽輪發电机已在运行，現在考慮的是200,000瓩300,000瓩以至600,000瓩或更大容量的汽輪發电机，这种巨型發电机在目前技術条件下有可能完全符譜實現。

为制造这些巨型發电机，首先应解决的是冷却問題，因为就目前技術条件，决定汽輪發电机有效部分極限尺寸的是轉子的机械强度，在高速旋轉的轉子材料中引起很大的离心机械应力以及交变弯曲应力，因此轉子材料必須以特殊高質磁性的，並具有均匀成分和高机械性能的合金鋼制成。尽管如此，在現代冶金技術水平下也只能使汽輪發电机轉子尺寸限制在直徑为1.1米，有效長度为6.5米的極限值以下。这些数据是目前系列制造的依据。然而它的極限容量也只能達到150,000瓩。

致力於尽可能大的巨型汽輪發电机容量的制造是由於一系列中小容量汽輪發电机所不及的重大的經濟优越性及大容量电力网的需要。

近年來動力系統如此增長，致使200—300兆瓦容量汽輪發电机顯得不够大，而最新加强勵磁的高速切斷調節的应用，足以保証系統中巨型机组工作的穩定性。

装备巨型机组的电站的基本优點：

- 1) 提高了电站效率；
- 2) 机组數量减少，运行人員可作適當精簡；

### 3) 縮小電站基建面積:

雖然單個的300,000瓩汽輪發電機的效率比150,000瓩汽輪發電機的低0.5—0.7%，但是就配備這種發電機組的汽輪機而言，效率仍是高的。比如，容量為250,000瓩汽輪機的效率比容量為150,000瓩的高1.5%，於是機組效率由於採用了巨型大容量汽輪機，而提高0.8—1.0%，這已是很可觀的數字了。

當容量由150,000瓩增加到300,000瓩時，機組數雖然未變，容量却加倍了，而發電機尺寸實際也能作到不加大，這樣，電站機房佔地差不多也未變。

大容量巨型汽輪發電機的製造，已成為現代汽輪發電機製造業明確的發展方向。

新技術的發展，要求用一種最好的冷卻方式使單位機容量，獲得更大的提高。

內部冷卻這一概念的提出，使電機製造業進入了新的發展階段，內部冷卻是冷卻介質（氣體或液體）直接與發熱體相接觸，於是發熱體，如定子、轉子的銅產生的熱量可不經過有很高溫度降，從而影響電機容量的絕緣，直接由冷卻介質帶走。應用這種冷卻方法，發電機的極限容量可突破40萬瓩，進而達到60萬瓩或更高值。

液體，包括絕緣油及純水，是巨型汽輪發電機定子、轉子內部冷卻最有效的冷卻介質。

#### 比較：

- i ) 在大氣壓力下，氮氣冷卻比空氣冷卻提高容量10—20%；
- ii ) 定子空氣冷卻、轉子水冷卻，提高容量25—50%；
- iii ) 在大氣壓力下，定子氮氣冷卻，轉子水冷，提高容量20—35%，純水內部冷卻相當轉子銅在3個絕對大氣壓下氮氣冷卻時的效果。

冷卻介質一般應用氮氣、絕緣油或純水。

#### 對冷卻液體的要求：

- 1 ) 導熱性高；2 ) 热容量大；3 ) 热穩定性、燃點及沸點要高；4 ) 冰點低；5 ) 流動阻力低；6 ) 加熱不沉澱，與被冷卻物体不起作用；7 ) 有優良的絕緣特性及高的電氣強度。

冷卻電機廣泛應用的冷卻介質，是純水及變壓器油。

表二、與空氣相比較的各種氣體和液體冷卻介質的特性：

冷卻介質	$H_2$ 2大氣壓	$H_2$	$H_2O$	$CO_2$	空氣	$H_2O$	油
比重	1/7.2	1/14.4	1/7.2	1.52	1	860	750
導熱率	7.1	7.1	5.8	0.62	1	23	5.3
熱容量（每公斤）	14.1	14.1	5.2	0.84	1	4.1	1.9
熱容量（每立方米）	2	1	0.7	1.3	1	3500	1400
在同一速度下的 $\alpha$	2.75	1.7	1.34	1.02	1	570	22.2
在同一 $\alpha$ 下的速度	1/4	1/5	0.72	0.91	1	1/3100	1/60
在同一 $\alpha$ 下的阻力	1/8	1/2	0.91	0.72	1	1/6200	1/520

初看起來，覺得上述液体的冷卻特性比鹽、氯差。它們比重數值高，因此摩擦損耗大。但，仔細研究一下，發現它們有着很大的熱容量及導熱系數 $\alpha$ 。為了獲得與氣體冷卻時相應的冷卻條件，只需要不大的冷卻液體體積。冷卻液體就可能以較低的速度運動，從而在同一導熱系數條件下，散熱效果不變，流動阻力相應減小。

廣泛採用與提高電機容量、運行性能、質量有關的新技術，除內部液體冷卻外，還使用性能優異的硅有機絕緣、硅有機漆，冷硅軋鋼片等耐高溫及高導磁電工材料。

## II 轉子繞組內部冷卻

### 1. 氣體內冷效果：

一般汽輪發電機結構的轉子繞組溫度由下列溫度降組成：

轉子絕緣套筒的溫度降	30°C
沿轉子高度的溫度降	20°C
由表面到氣隙中氣體的溫度降	30°C
氣隙中氣體溫昇	20°C
到電機中去的氣體溫度	40°C
共計	140°C

溫度降的數值可能有所改變，但總的說，對現代巨型汽輪發電機是有代表性的。

當轉子繞組銅直接冷卻（沒有中間導熱過程）時，則在絕緣套筒中，沿齒高溫度降以及氣隙中空氣的溫昇完全不存在。應用在繞組通風道中的高速冷卻介質和機壳中的高壓冷卻介質可以顯著減少銅表面到冷卻介質的溫度降，並且當銅的溫度較低時，具有更高的散熱能力。

首先近似假定所有轉子繞組產生的熱量均在通風道中被氣體帶走。

$$\text{槽內銅的填充系數: } K_{ss} = S_2 \text{cuv} / S_2 \text{cuo}, \text{ here} \quad (1)$$

$S_2 \text{cuv}$ ——導體內有通風道的轉子槽內銅截面；

$S_2 \text{cuo}$ ——導體內無通風道的轉子槽內銅截面；即槽中全都是銅。

如果經過槽橫截面的電流用 $I'_2$ 表示，則轉子本體每公分長度的損失：

$$P_2 = \frac{(I'_2)^2 \rho}{K_{ss} \cdot S_2 \text{cuo}} \quad (2)$$

如果轉子槽銅中通風道周邊長為 $l_v$ ，通風道中氣體與槽中銅平均溫差 $\vartheta_{sv}$ ，由銅到氣體的導熱系數 $\alpha_v$ ，則轉子本體每公分損失：

$$P_2 = \alpha_v l_v \vartheta_{sv} \quad (3)$$

恒等以上兩式，求出 $I'_2$ 得：

$$I'_2 = \sqrt{\frac{1}{\rho} \alpha_v K_{ss} S_2 \text{cuo} l_v \vartheta_{sv}} \quad (4)$$

一般無內部冷卻銅導體的繞組，流經槽截面的電流：

$$I_2 = j_2 S_2 \text{cuo}, \quad (5)$$

这里  $\lambda$  是轉子繞組電流密度。

解(4)(5)式得:

$$\frac{I_2'}{I_2} = \sqrt{\frac{K_{2s} \rho s v}{\rho_{2s}^2 S_2 \text{cu} \cdot \lambda}} \quad (6)$$

公式(6)說明:與一般系統比較導體內冷系統可提高轉子磁化力若干倍,銅的結構特點在公式(6)中表現在系數  $K_v$  上:

$$K_v = \sqrt{K_{2s} \frac{1v}{S_2 \text{cu} \cdot \lambda}} \quad (7)$$

對圖9(見9頁)結構方案,系數  $K_v$  可以採取 1。為數字計算,取  $\rho = 2.5 \cdot 10^{-8}$ ,  $\lambda^2 = 400$  安/公分<sup>2</sup>,  $\vartheta sv = 60^\circ$ 。溫度降由以下部分組成:銅平均允許溫度  $120^\circ$ , 氣體到電機中的入口溫度  $40^\circ$  和冷卻氣體在通風道中的溫升  $80^\circ$ 。

對以上敘述可以列出近似關係式:

$$\frac{I_2'}{I_2} = 12 \sqrt{\alpha u} \quad (8)$$

對狹長通風道的導熱系數  $\alpha u$  可按下式計算:

$$\alpha u = 0.0215 \left( \frac{v}{40} \right)^{0.6130 \times 8} \quad (9)$$

這裡  $v$ —通風道中的速度米/秒;  $P$ —氣體在電機中的絕對壓力,系數 0.0215 與氮氣純度有關。

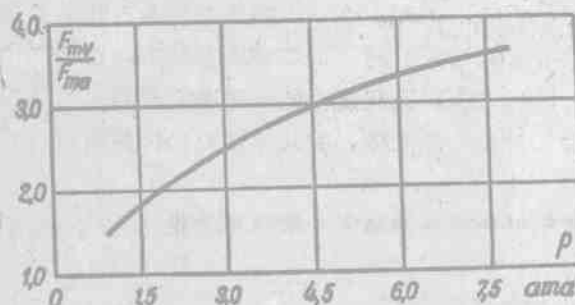


圖1 轉子磁勢與定子在  $40$  米/秒速度氣體壓力的關係曲線。  
取一般冷卻系統中磁勢值為一個單位。由圖看來,內部冷卻時,提高轉子磁勢 2 至 3 倍。磁勢的繼續增加,高冷卻氣體的速度增長。

容易證明,當空載磁勢與短路磁勢之比為常數時,即汽輪發電機並聯工作時的穩定參考為常值時,它的容量與轉子磁勢成比例,數值統計結果可使得我們寫出汽輪發電機視在功率近似公式:

$$P_m = 200000 \frac{F_{mV}}{F_{mo}} \quad (10)$$

這裡,  $F_{mV}$ —內部通風時轉子的磁勢。

$F_{mo}$ —一般結構轉子的磁勢。

由公式(10)看出,在現代有效部分極限容量尺寸及一般轉子冷卻系統條件下,即當  $F_{mV}/F_{mo} = 1$  時,極限容量為 200,000 莫。當應用內部冷卻,使比值  $F_{mV}/F_{mo}$  加倍時,汽輪發電機極限容量  $P_m = 200,000 \times 2 = 400,000$  莫。

這些近似計算指明,依據轉子內部冷卻的汽輪發電機容量可大大提高。

2、气体内冷結構：正如前述，提高汽輪發电机容量是依靠轉子繞組銅氈直接冷却系統的应用。由圖2，3看出各種冷卻系統繞組中溫度降情況：

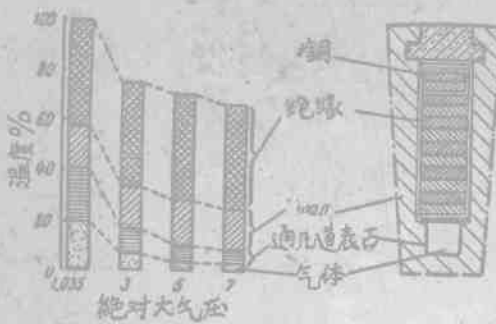


圖2. 标准绝缘轉子中溫度降

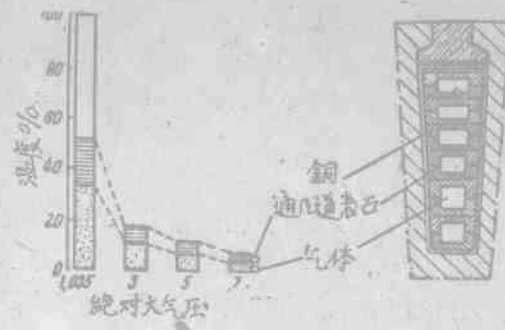


圖3. 銅直接冷卻的轉子中溫度降（各部分損失與一般電機槽中的損失相等）

在現有的兩極汽輪發电机結構中轉子冷卻問題曾是限制發电机單位容量增長的焦點。容量在200,000—225,000瓩以下的高壓氣氣冷卻汽輪發电机只應用轉子銅直接冷卻和靠降低定子繞組電壓，增加並聯支路數目可以達到目的。然而對今後容量的繼續增長，必須使定子銅也進行直接冷卻。

目前皆知的是轉子銅直接冷卻的汽輪發电机結構。

根據通風系統，可被分成：

a. 單方向軸向通風（圖4）

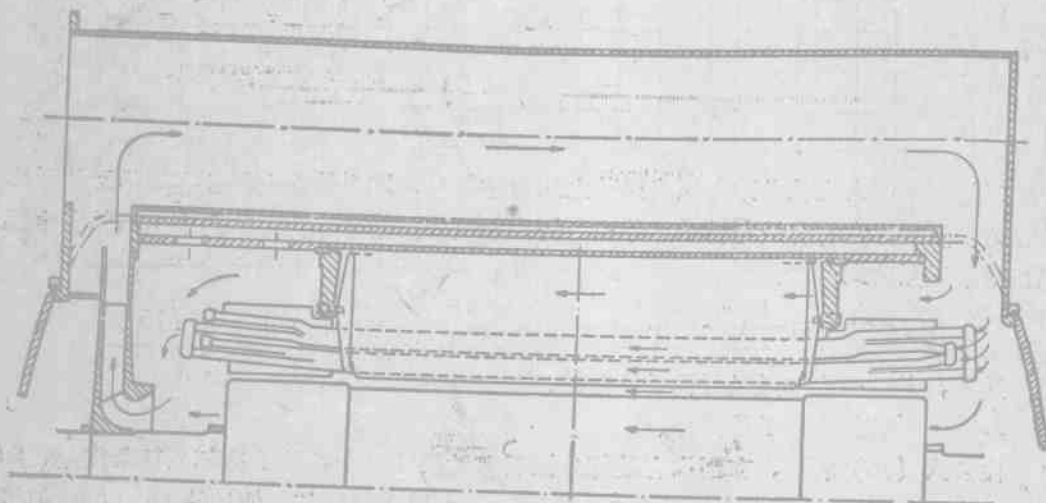


圖4. 汽輪发电机軸向通風系統圖

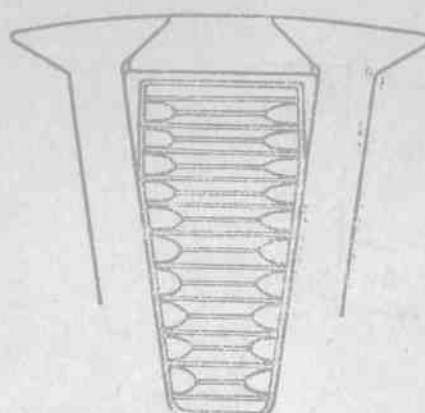


圖5. 定子槽斷面

## 6. 双方向軸向通風(圖6)

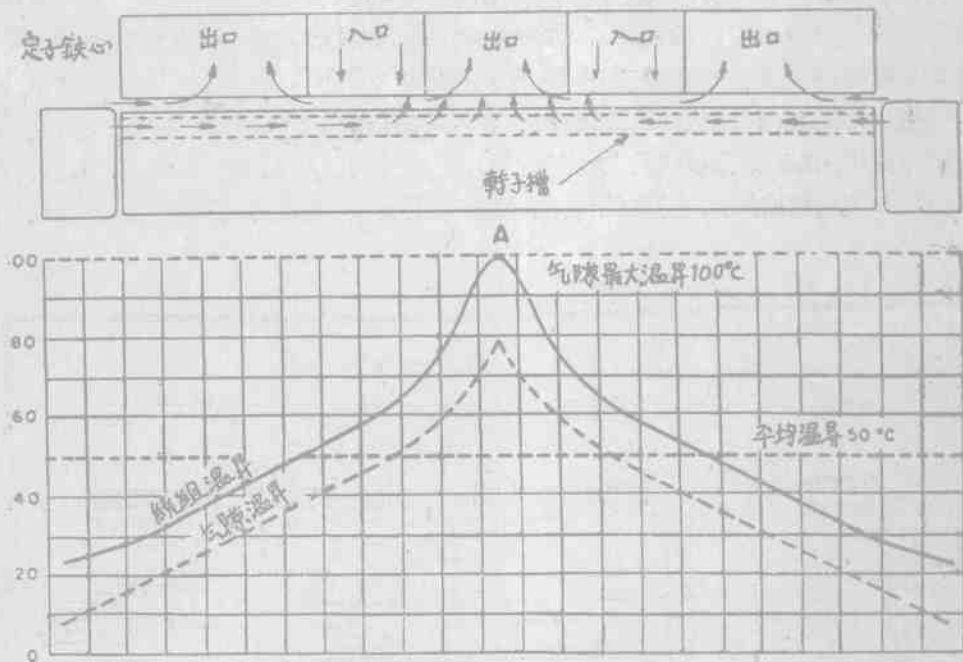


圖6. 双方向軸心通風圖及沿轉子軸繞組溫度分佈圖

—— 沿轉子軸向繞組溫度分佈曲線。

…… 沿轉子軸向氣體溫度分佈。

## 7. 多流式通風(圖7)

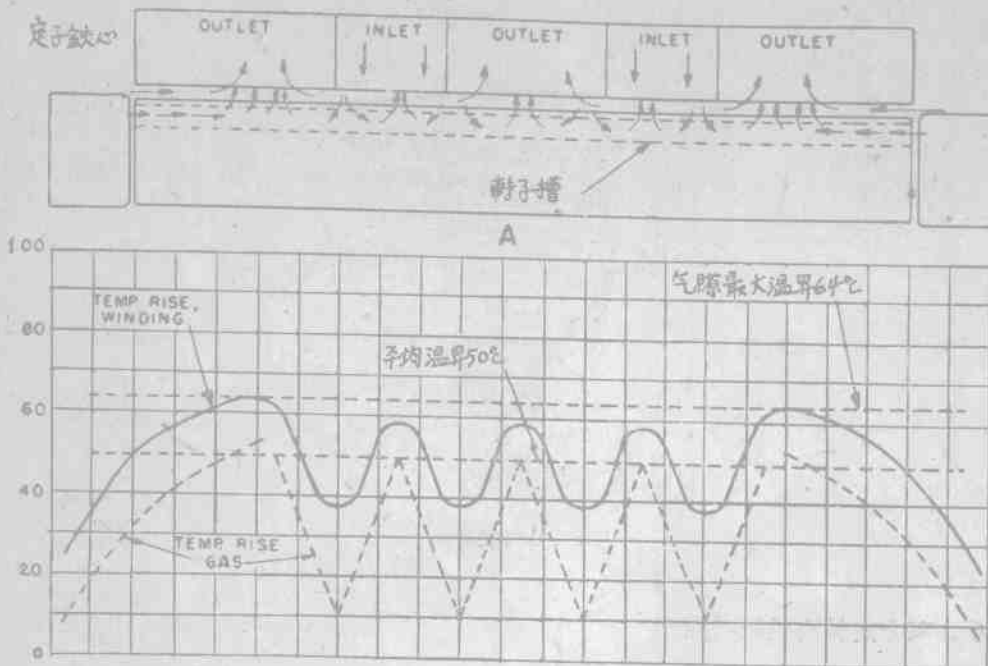


圖7. 多流式通風及沿轉子軸向溫度分佈圖

—— 沿轉子軸向繞組溫度分佈曲線

…… 沿轉子軸向氣體溫度分佈曲線

与这些冷却系统相对应的曲线（图6, 7）表示了沿转子绕组长度的温度分布。在多流式通风系统中温度分布很均匀。这就可能在同样的铜最大温度条件下，取得绕组更高的平均温度。困难在于制造保证气体在绕组中做复杂循环的转子本体通风结构。（图8）

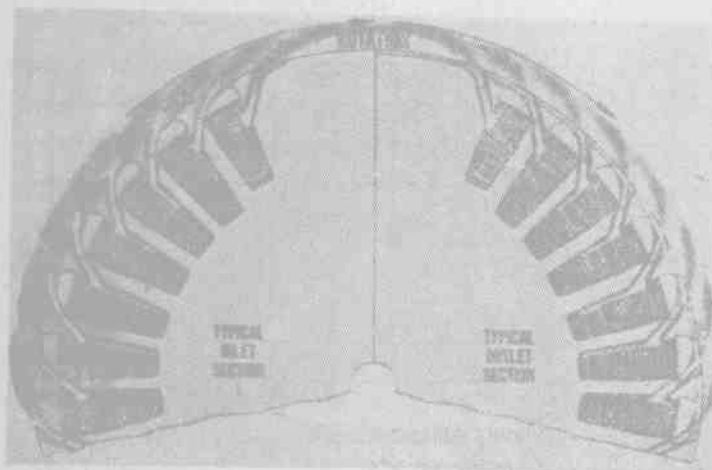


圖8. 多流式通風轉子橫

斷面

左半面圖視是繞組  
進風口；右半面圖視是繞組  
出風口。（轉子順  
時針轉）

在轴向通风系统中，气体的运动决定于转轴上风扇产生的压头（见图4）。既然压力和风扇的性能可在很大范围内改变，因而总可取得所需的冷却气体消耗量。

在双方向通风系统中，沿电机长度的斜率不大，但在电机中部，由转子逸出的热

气体提高了空隙中冷却气体的温度，从而使定子繞組局部过热。不过，这种危险性可借助於直接冷却的氣氣吹向定子繞組得以减少。

从上述結構的轉子繞組电气絕緣可靠性觀點出發，偏重於軸向系統（見圖4）因为在帶柵形及從間隙逸出的冷却氣流結構中（圖8）的套筒絕緣，在槽高中部開有氣体出風孔及進風孔，破坏了絕緣的完整，此外，在多流式通风系統中，轉子齒鑽孔降低了轉子的機械強度，制造工藝，也很複雜。

从工藝觀點出發，在單方向軸向通风系統中，偏重於轉子繞組的利用，因为這個方案不在轉子本體表面開氣孔。

为了能經受离心力引起的局部压力及风化作用，銅直接冷却的轉子繞組結構需要採用新式高强度薄塑料絕緣（無論套筒式还是連續式）。

轉子繞組銅直接冷却的汽輪發电机通风系統，必須保証氣体在很大空气動力阻抗的導体通风道中有很高的速度。

足夠高的氣体压头可以借安裝在汽輪發电机轉軸上的离心式风扇或軸向多級风扇產生，这些风扇在汽輪發电机端部空間的安裝大大复雜了結構師的任务，並需要進行專門研究。

在这种情况下，軸向冷却时，需要通风的容量与原有各系統比較將增加若干倍，而风扇的效率又要維持現有數值。

强力冷却汽輪發电机的制造工藝与現在根本不同，特別是繞組制造方面。

直接冷却轉子繞組銅的通风道制造是一很困难的工藝課題。在制造過程中，必須保持繞組絕緣水平，它的絕緣强度和耐久性。這種繞組制造的工藝特徵表現在導體和新式絕緣材料的应用上，表現在繞組線圈和單獨線匝制造的高度精確及裝配的仔細上。为保証內冷導体通风道的正常尺寸，这种結構要求应用微塑性变形的特种銅料。

在轉子上梯形槽（圖5）的应用，給予增加槽內用銅量——从而提高轉子容量，又不降低轉子機械強度造成可能性，但是由於槽截面的形狀及導体尺寸的变化，使轉子加工的勞動量过分增加。

圖9引用的三种轉子繞組內部直接冷却結構方案。

第一方案，冷却氣体滑過銅導體側面，这种結構造成工藝上的頗大困难，当轉子下線後熱壓時，不易保持各導體的同心度，以致影响通风道的通风冷却。第二方案，在銅導體及絕緣套筒相鄰空間形成通风道，每個通风道由兩根導體共有，輻向通风孔分佈在轉子中部。冷却繞圈端部的氣体絕大部分進入齒槽通风道，风压损失不大，效率很高。第三方案，空心導體內冷，是由凹形導體組合成空心截面，冷却介質由導

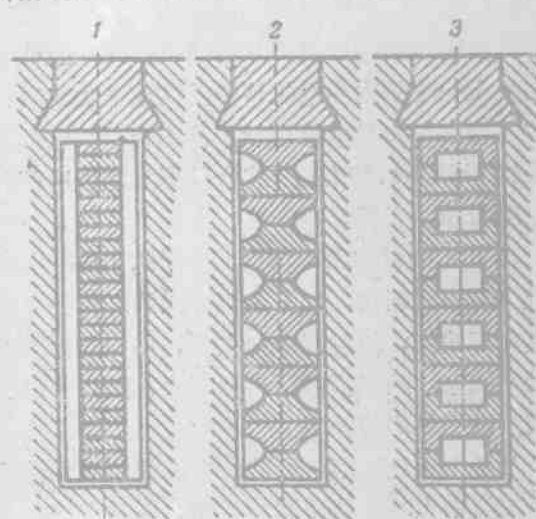


圖9. 轉子內冷槽斷面

体中心穿过。这一方案可以大大提高气体的導熱效力，並保留了普通的由銅經絕緣套筒傳給轉子齒的導熱系統。

瑞士 BBC 公司於1954年生產了第一台150,000瓩—(187,500仟伏安)的汽輪發電機。

發電機工作時，機壳內氣體壓力為1表壓。當提高氣體壓力時，發電機容量可提高到200,000仟伏安，該公司認為，內冷的應用必須在大容量(150,000瓩以上)下，小容量發電機轉子熱量的傳導還可採取轉子齒中的附加冷卻通風溝。

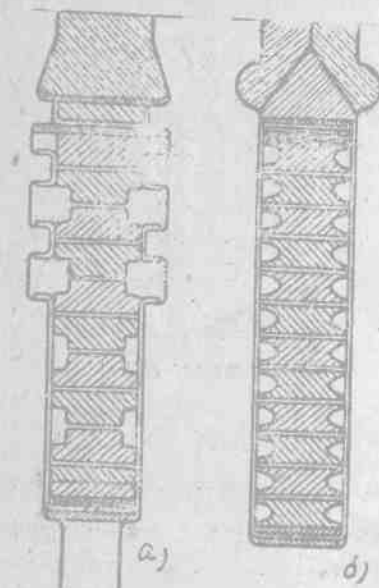


圖10. a) BBC 內冷却轉子槽形 b) AEG  
內冷却轉子槽形

大容量發電機轉子槽形已相當複雜(如圖10a.)，導桿雙排為一組，具有與轉子齒側的小通風溝相對應的溝槽，組成氣體內冷風道，高速度的氣體可帶走將近75—80%繞組銅及齒鋼中放出的熱量。

轉子槽底開有冷卻風道，當氣體由轉子內部槽底通過時，使長轉子的溫度分佈均勻。

轉子繞組絕緣套管反包在齒側小通風道凸緣上，以利氣體直接與齒銅接觸。

AEG 公司於 1953 年生產的第一台容量為 64,000 瓩內部冷卻汽輪發電機。導體在槽內的截面如圖10.6，側面內冷風道由繞組銅導桿兩側組成。這種結構很難使熱量經過槽絕緣傳給齒銅。

氣體由轉子兩端進入，並通過線圈風道，然後從轉子中部通風孔逸出。

轉子繞組內部冷卻的應用效果是相當顯著。

由圖11曲線1、2、3看出，在同一直徑下容量最大一倍的內冷電機轉子長度僅增加到1.1倍，相反，如果電機尺寸保持不變，到它的容量級增大到1.89倍。這個計算考慮到冷卻介質壓力達二表壓。

BBC 公司生產的 187,500 仟伏安汽輪發電機的轉子(圖12、13)為組合式的。轉子本體是環形鍛件，經過仔細加工後，用長螺桿由兩軸端拉緊，該環形鍛件尺寸不大，因而可以制成無缺陷的均勻軸料。

各個單個環形端面的嚴密接觸，可使轉子在工作中完全保持堅固的整体鍛制結構。

3. 液體冷卻。在槽或導體直接冷卻下，唯有銅中的熱損耗被帶走(圖14)。



圖11. 一般的及內冷的發電機轉子繞組中相對容量與氣體壓力關係  
1—內部冷卻理論曲線；  
2—內部冷卻實際曲線；  
3—外部冷卻實際曲線。



圖12. 組合轉子結構圖

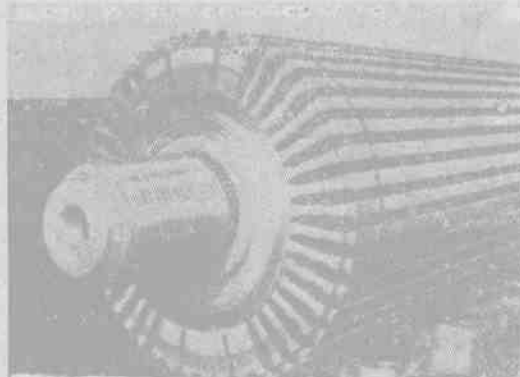


圖13. 無繞組端的187,500千瓦安裝電機轉子外形



圖14. 轉子槽液体直接冷卻

气体冷却转子導線的結構類型：1.側面通風；當採用長方形斷面的導體時，在導體和槓壁間便形成了側面冷卻溝道（圖9,1）。2.空心導線：銅導體由二個U形的斷面組成；氣體從導線內部通過（圖9,3）。3.冷卻氣體由氣隙進入空心導線。

為了使液體冷卻更有充分利用定子的可能，在氣壓為3表壓情況下，轉子必須採用氳的直接冷卻，並限制轉子溝道長度為60公分。這樣，沿着整個轉子長度，就得到12—17段溝道。由於巨大的離心力作用，液體直接冷卻轉子導體是很困難。但用液體冷卻齒較易，並且，由於水有較小的流動阻力，因此最好採用水冷卻。

水由上部的分配貯存室經空心軸a（圖15）而流動。從空心軸出來，流入分配室b，再從這裡到徑向溝道C，最後到齒溝道。這樣水流到轉子另一端，經徑向溝道進入貯水室，這貯水室經過空心軸與造成低壓離心泵連接（線路圖在水力模型中已研究成功）。根據計算得知，轉子內損耗為334瓩的100兆伏安的發電機（其中80瓩屬於繞組端部損耗）冷卻水溫度的提高，當水耗量為210公升/分時，僅17.6°。水力消耗約11.7瓩。

水由軸流到分配室b去的時候必須的加速度是由溝道的相應形狀保證的，否則水將停滯在b室。假使少量液體經徑向溝道C流向四周，而它又要轉入軸向溝道，結果產生強烈阻塞，流向周圍速度降低。此處得到的渦流，阻礙了液體的流動。假使出入孔呈圓形，則渦流可減少。

由前表二知，每立方米水的熱容量比同狀態下的空氣大3500倍；油的熱容量則大1400倍。在同樣流速下，水的導熱係數比空氣大570倍；油的，大22.2倍；而在大氣壓力下，氳氣的導熱係數比空氣大1.7倍，在2大氣壓力下為2.75倍。但，用液體冷卻時，流體阻力很大，因而流速約縮小十倍。

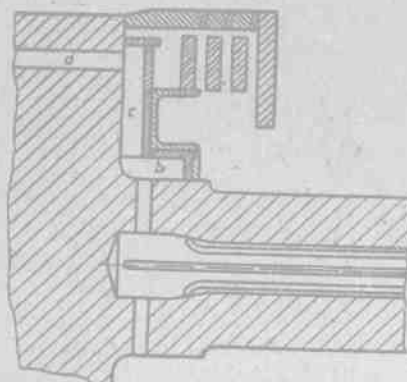


圖15 轉子的液体供給方案: a—空心軸; b—分配室; c—徑向槽; d—軸向槽

彼此間發生故障性短路或與轉子鐵心發生故障性短路。因此對極限容量汽輪發電機，這種結構不能被接受。發電機容量是取決於轉子，因此超容量巨型汽輪發電機的製造必須從解決銅導體液體內部冷卻着手。

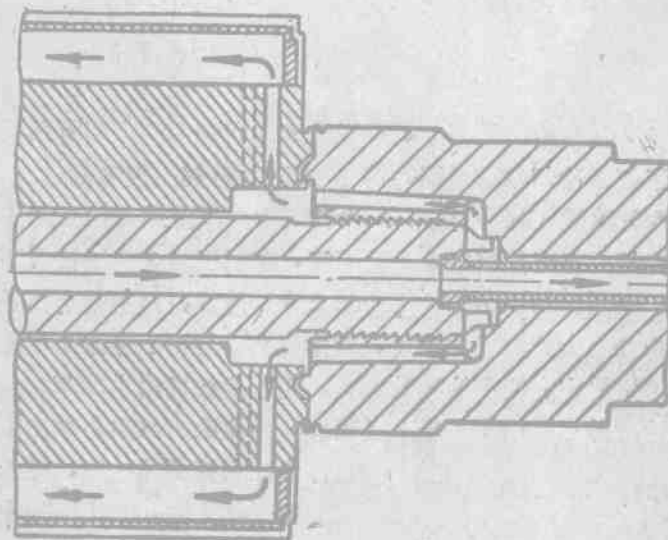


圖16

### III、強行冷卻的汽輪發電機中勵磁損耗

強行冷卻汽輪發電機損失與無強行冷卻汽輪發電機損失之比：

$$\frac{Q'e}{Qe} = \frac{\left(1 + \frac{F_0}{F_a} fw_z \sin\psi'\right)^2 + \left(\frac{F_0}{F_a}\right)^2 fw_z \cos\psi'}{\left(1 + \frac{F_0}{F_a} fw_z \sin\psi\right)^2 + \left(\frac{F_0}{F_a}\right)^2 fw^2 \cos^2\psi} \quad \dots\dots\dots (11)$$

容易看出，就導熱係數言，油冷卻並不比氣冷卻有利，而用水冷卻，導熱係數够大（57倍）。當水冷卻系統獲得進一步改善，純水質量不斷提高時，採用水冷卻，尤其銅直接冷卻將大大提高汽輪發電機極限容量。圖16是一間接水冷卻的汽輪發電機轉子結構。熱量經過絕緣，由轉子齒傳出來為冷卻水帶走。這種結構有一定缺陷，由於強烈的冷卻，使銅和鐵心間的溫差提高了，達50°—60°左右，結果加大銅和鐵心間的相對伸長，很易引起銅導體的殘餘變形，遭到絕緣破壞，最後造成繞組

这里  $F_0$ —空载 H.C 与电枢反应 H.C 之比:

$f_{w_2}$ —转子绕组系数;

$$\sin\psi' = \frac{\sin\psi + \frac{I'}{I}x_p}{\sqrt{(\sin\psi + \frac{I'}{I}x_p)^2 + \cos^2\psi}},$$

$$\cos\psi' = \frac{\cos\psi}{\sqrt{(\sin\psi + \frac{I'}{I}x_p)^2 + \cos^2\psi}},$$

$$\sin\phi = \frac{\sin\psi + x_p}{\sqrt{(\sin\psi + x_p)^2 + \cos^2\psi}},$$

$$\cos\phi = \frac{\cos\psi}{\sqrt{(\sin\psi + x_p)^2 + \cos^2\psi}},$$

利用 (11) 式计算, 令

$$\frac{F_0}{F_a} = 0.975, f_{w_2} = 0.767, x_p = 0.12, \cos\psi = 0.85.$$

计算结果列于表三, 由这里看到勵磁损失的增长比定子绕组中损失慢的多。

$\frac{I'}{I}$	1.57	1.98	2.15	2.55	2.86	3.15	3.42	3.88
$\frac{Q'_e}{Q_e}$	1.76	2.57	2.94	3.94	4.8	5.67	6.6	8.25

转子绕组导体中冷却通风道的结构迫使绕组导体面积增大, 相应的槽中匝数减少, 与此有关的勵磁电流与容量非正比增强, 并达到很高的数值。例如, 西屋公司的汽轮发电机强力容量 110,000 匝, 勵磁电流达 2900 安培。这样高值的电流由高速勵磁机整流器上取得是不可能的, 因此引起了这样一个问题, 即设计可靠供给及快速动作的新式勵磁系统问题。这个系统可以是离于勵磁的也可以是整流器式的。这种勵磁系统的设计和制造是生产超容量汽轮发电机关键的问题。

当设计容量为 200,000—300,000 匝一汽轮发电机时, 考虑到各种结构的优缺点苏联“电力”工厂批判地学习了外国各公司的先进经验, 进行了许多, 特别是利用各种模型的试验, 各种结构部件的研究; 制造以及中小容量产品的试验, 目的在于创造运行中更可靠及制造上简单的结构。

在设计过程中使用了苏联科学院各个研究所以及 M3D 各个研究所研究的许多资料。为了设计新的材料及成套设备也曾组织了其他许多部所等单位。

## VI 苏联汽轮发电机新的冷却原则及其制造的发展远景

汽轮发电机按尺寸计算, 摆限容量是 150,000 匝一, 因此, 今后汽轮发电机单位容

量的增長要求拟定新的冷卻原則。在1953年“電力”工廠便投入了這項工作。但是由於科學研究基地的薄弱，這項工作在工廠中一開始就很緩慢，直到1955年蘇共中央委員會六月全體大會之後才全面開展。

根據第六個五年計劃，預見到汽輪發電機產量的迅速增長，於1960年將達到10,000兆瓦。

為完成這項決定，在“電力”工廠進行了實驗室條件下的大量實驗和全面展開設計工作。在研究過程中，曾學習和使用了本範圍內的現代發展趨勢。

這項工作進行的結果，創造了汽輪發電機轉子冷卻的獨特結構，並制成容量30,000瓩強行冷卻試驗汽輪發電機。這台汽輪發電機供設計容量300,000瓩汽輪發電機基本原則校核用。它有2表壓氣體壓力的轉子繞組新式冷卻系統，並採用了3表壓氣體供應系統的新式儀器設備以及新式勵磁系統。

轉子結構使得轉子繞組沿不與發電機有效長度相關的全長均勻冷卻。

考慮到沿轉子長度均勻冷卻的優越性及大容量發電機冷卻的發展方向，“電力”工廠設計出特別的轉子結構（圖17）。當轉子進行強行冷卻時，電機的勵磁容量大大提高，而勵磁電壓下降。最大容量電機的勵磁電流由從前的700安培達到3000安培。在這種參數下，應用直流勵磁機實不可能保證勵磁。為此，採用了新式帶乾整流器整流的增高頻率交流發電機的勵磁系統。

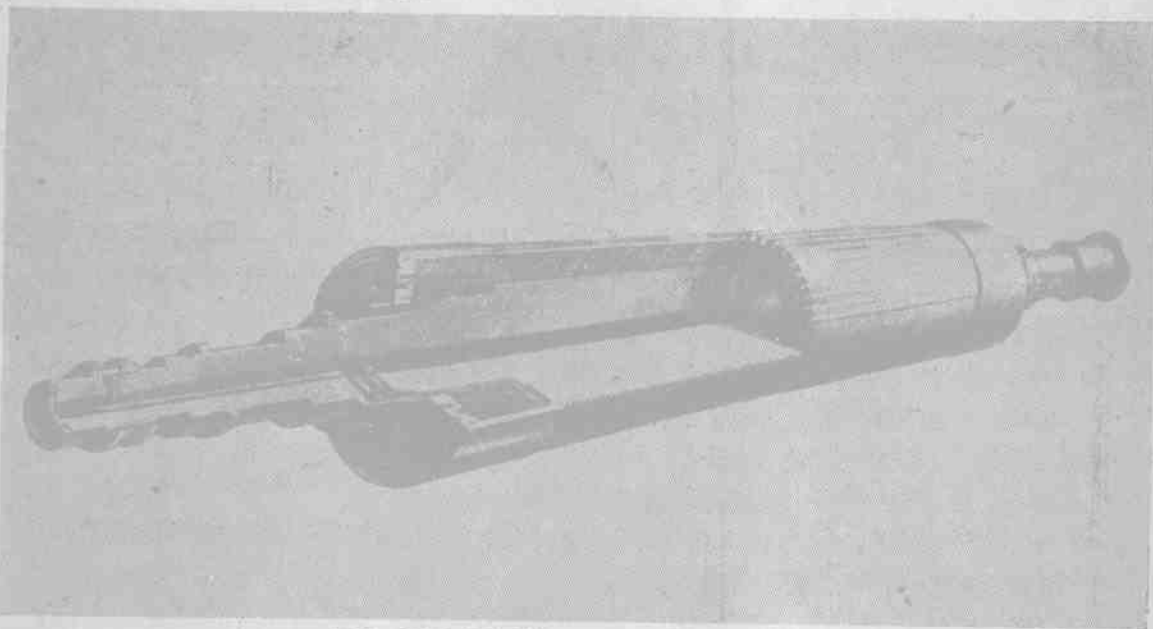


圖17 繞組直接內冷的200,000瓩汽輪發電機轉子

汽輪發電機試驗証實了超高容量發電機製造的可能性，其中包括容量為200,000和300,000瓩發電機在內（圖18）。容量為30,000瓩的電機轉子冷卻問題的解決，可以很容易轉移到無附加、複雜和高價的其他容量電機實驗中去。

在蘇聯哈爾柯夫電力牽引工廠中設計了軸向氣體冷卻的冷卻系統，該廠在1957年製造容量330,000瓩3000轉/分的試驗發電機，其中預料到定子、轉子導體直接冷卻的